

Colloquium Espoirs
25 juin 2013

Camille Couprie : « *Optimisation
variationnelle discrète et applications en
vision par ordinateur* »

Mathilde Noual: “*About time and the
structure of interaction systems*”

Mathieu Feuillet: “*Bandwidth Allocation in
Large Stochastic Networks*”

Camille Couprie

*Optimisation variationnelle
discrète et applications en vision
par ordinateur*

Optimisation variationnelle discrète et applications en vision par ordinateur

Camille Couprie ,
Laurent Najman , Hugues Talbot  et Leo Grady .
 IFP Energies Nouvelles, Rueil Malmaison, France
 LIGM, Université Paris Est, ESIEE, France
 Siemens Corporate Research, Princeton, puis Heartflow, USA

25 juin 2013, Colloquium UPMC

UNIVERSITÉ
— PARIS-EST



ESIEE
PARIS

SIEMENS

Introduction



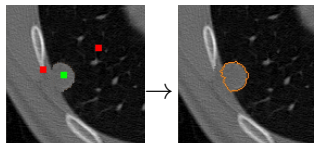
Leo
Grady



Laurent
Najman



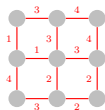
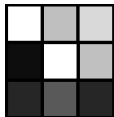
Hugues
Talbot



Introduction

- L'image est vue comme un graphe $G = (V, E)$, $n = |V|$, $m = |E|$.

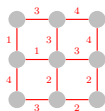
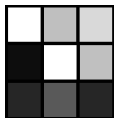
Image $3 \times 3 \rightarrow$ Graphe pondéré 3×3



Introduction

- L'image est vue comme un graphe $G = (V, E)$, $n = |V|$, $m = |E|$.

Image $3 \times 3 \rightarrow$ Graphe pondéré 3×3

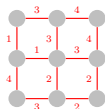


- Les arêtes sont pondérées par une mesure de dissimilarité c-à-dire inversement proportionnelle au gradient de l'image.

Introduction

- L'image est vue comme un graphe $G = (V, E)$, $n = |V|$, $m = |E|$.

Image $3 \times 3 \rightarrow$ Graphe pondéré 3×3

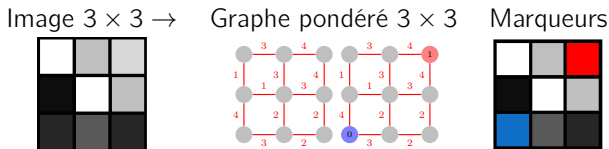


- Les arêtes sont pondérées par une mesure de dissimilarité c-à-dire inversement proportionnelle au gradient de l'image.

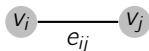
- Notations : v_i — v_j
 e_{ij} poids de l'arête $e_{ij} = w_{ij}$

Introduction

- L'image est vue comme un graphe $G = (V, E)$, $n = |V|$, $m = |E|$.



- Les arêtes sont pondérées par une mesure de dissimilarité c-à-dire inversement proportionnelle au gradient de l'image.



- Notations : poids de l'arête $e_{ij} = w_{ij}$

Hypothèses de régularité

Formulation variationnelle pour résoudre nos problèmes :



data f

$$\rightarrow \min_{x \in \mathbb{R}^n} \sum_{x_i \in V} \underbrace{R(\nabla x)}_{\text{Régularisation}} + \underbrace{\mathcal{D}(x_i, f_i)}_{\text{Fidélité aux données}} \rightarrow$$



solution x

Hypothèses de régularité

Formulation variationnelle pour résoudre nos problèmes :



data f

$$\rightarrow \min_{x \in \mathbb{R}^n} \sum_{x_i \in V} \underbrace{R(\nabla x)}_{\text{Régularisation}} + \underbrace{D(x_i, f_i)}_{\text{Fidélité aux données}} \rightarrow$$



solution x

La solution x peut être un étiquetage :

Hypothèses de régularité

Formulation variationnelle pour résoudre nos problèmes :



data f

$$\rightarrow \min_{x \in \mathbb{R}^n} \sum_{x_i \in V} \underbrace{R(\nabla x)}_{\text{Régularisation}} + \underbrace{\mathcal{D}(x_i, f_i)}_{\text{Fidélité aux données}} \rightarrow$$



solution x

La solution x peut être un étiquetage :

- partitionnant une image en différentes régions

Hypothèses de régularité

Formulation variationnelle pour résoudre nos problèmes :



data f

$$\rightarrow \min_{x \in \mathbb{R}^n} \sum_{x_i \in V} \underbrace{R(\nabla x)}_{\text{Régularisation}} + \underbrace{D(x_i, f_i)}_{\text{Fidélité aux données}} \rightarrow \text{solution } x$$



solution x

La solution x peut être un étiquetage :

- partitionnant une image en différentes régions
- correspondant à une carte de profondeur pour la reconstruction 3D

Hypothèses de régularité

Formulation variationnelle pour résoudre nos problèmes :

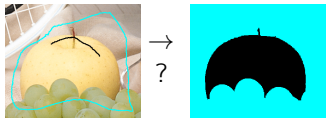


La solution x peut être un étiquetage :

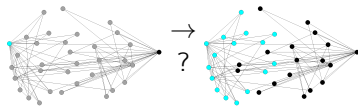
- partitionnant une image en différentes régions
- correspondant à une carte de profondeur pour la reconstruction 3D
- restaurant les intensités d'une image f [Modèle ROF, 1992]

Genericité des approches dans les graphes

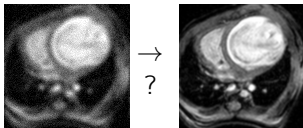
Segmentation avec marqueurs



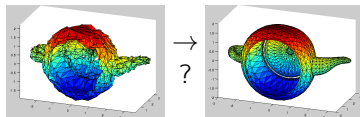
Classification



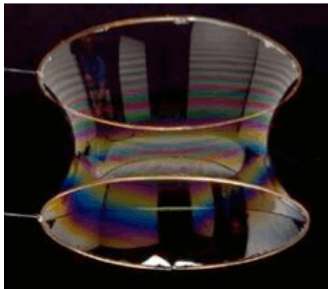
Restauration d'images



Filtrage de maillages 3D



Surfaces minimales

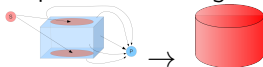


Outil classique de segmentation : Coupes minimales

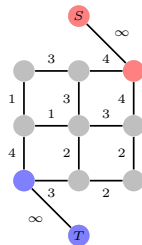
- Ford et Fulkerson 1960,
 Boykov-Joly 1998
- Dualité avec Flot maximum

$$\min_{\substack{x \in \mathbb{R}^n \\ x(F)=1 \\ x(B)=0}} \sum_{e_{ij} \in E} w_{ij} |x_i - x_j| = \max_{\substack{F \in \mathbb{R}^m \\ \text{div}(F)=0 \\ |F| \leq w}} F_{\text{Source} \rightarrow \text{Puits}}$$

- Expérience de segmentation



l'aire du volume obtenu n'est pas minimale

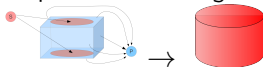


Outil classique de segmentation : Coupes minimales

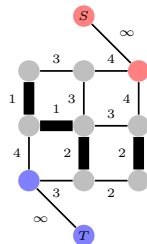
- Ford et Fulkerson 1960,
 Boykov-Joly 1998
- Dualité avec Flot maximum

$$\min_{\substack{x \in \mathbb{R}^n \\ x(F)=1 \\ x(B)=0}} \sum_{e_{ij} \in E} w_{ij} |x_i - x_j| = \max_{\substack{F \in \mathbb{R}^m \\ \text{div}(F)=0 \\ |F| \leq w}} F_{\text{Source} \rightarrow \text{Puits}}$$

- Expérience de segmentation



l'aire du volume obtenu n'est pas minimale

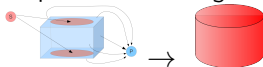


Outil classique de segmentation : Coupes minimales

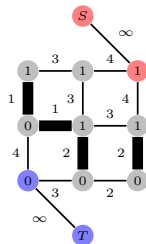
- Ford et Fulkerson 1960,
 Boykov-Joly 1998
- Dualité avec Flot maximum

$$\min_{\substack{x \in \mathbb{R}^n \\ x(F)=1 \\ x(B)=0}} \sum_{e_{ij} \in E} w_{ij} |x_i - x_j| = \max_{\substack{F \in \mathbb{R}^m \\ \text{div}(F)=0 \\ |F| \leq w}} F_{\text{Source} \rightarrow \text{Puits}}$$

- Expérience de segmentation

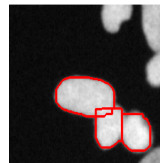


l'aire du volume obtenu n'est pas minimale

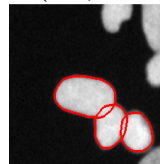


Effets de blocs

- Dans le continu : coupes (surfaces en 3D) minimales sont le problème dual du flot max continu [Strang 1983]
- Tendence récente : employer un flot max spatialement *continu* pour produire des solutions sans ce biais.
- [Appleton-Talbot 2006, généralisé par Unger-Pock-Bishop 2008]
L'algorithme le plus rapide de flot maximum n'a ni **critère d'arrêt**, ni **preuve de convergence**.



Flot max (Coupes minimales)

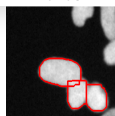
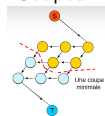


Flot max continu
[Appleton-Talbot 2006]

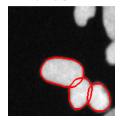
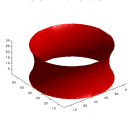
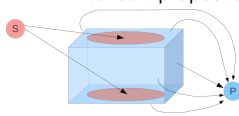
Flot maximum continu combinatoire (CCMF)

$$\min_{x \in \mathbb{R}^n} \sum_{e_{ij} \in E} R(x_i, x_j) + \sum_{e_{ij} \in E} D(x_i, x_j) = \max_{F \in \mathbb{R}^m, \text{div}(F)=0} F_{\text{Source} \rightarrow \text{Puits}} \\ \text{||}F\text{||}_2 \leq w$$

"Coupes minimales"



Méthode proposée → surfaces minimales

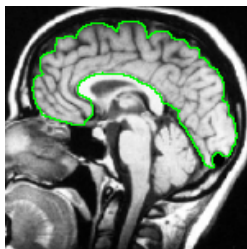
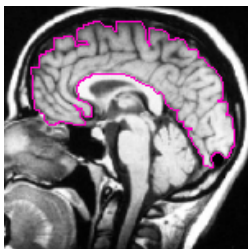


Notre contribution : nouvelle formulation isotrope discrète

[SIAM Journal on Imaging Sciences, 2011]

- évite les artefacts d'effets de blocs
- algo primal-dual une **converge démontrée**, est **rapide**
- est **général**, fonctionne dans des graphes arbitraires

Comparaison avec les coupes minimales



Résultat Coupes Minimales

Résultat CCMF



CM

CCMF

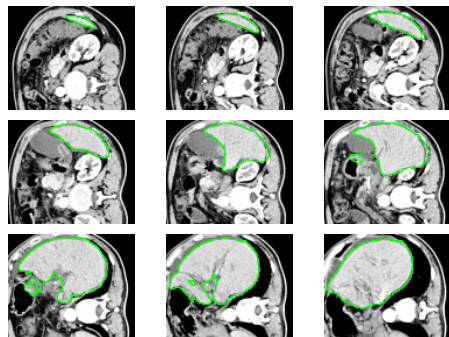
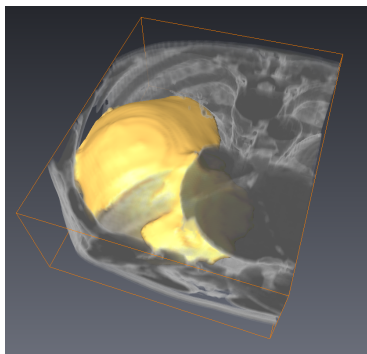
CM

CCMF

CM

CCMF

Segmentation d'images 3D



Segmentation du foie

Extension à la résolution de problèmes multi-label

Restauration de données [Couprie-Talbot-Pesquet-Najman-Grady, ICASSP 2011]

- Formulation combinatoire contrainte du problème de minimisation de la variation totale (restauration d'images).
 - Exploitation de problèmes duaux.
 - Optimisation par méthodes proximales parallèles.
- Débruitage et défloutage d'images

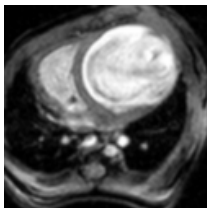
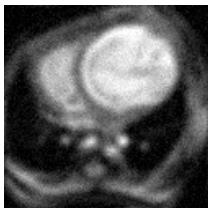
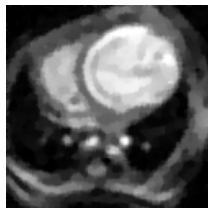


Image
originale



Bruitée, floue
SNR=24.3dB



DCTV
SNR=27.7dB

Extension à la résolution de problèmes multi-label

Restauration de données [Couprie-Talbot-Pesquet-Najman-Grady, ICASSP 2011]

- Formulation combinatoire contrainte du problème de minimisation de la variation totale (restauration d'images).
 - Exploitation de problèmes duaux.
 - Optimisation par méthodes proximales parallèles.
- Fusion d'images



Image
originale



Bruitée
SNR=17.3dB



floue
SNR=23.9dB

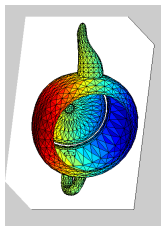


DCTV
SNR=26.5dB

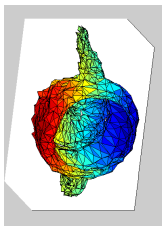
Extension à la résolution de problèmes multi-label

Restauration de données [Couprie-Talbot-Pesquet-Najman-Grady, ICASSP 2011]

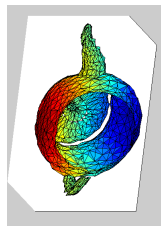
- Formulation combinatoire contrainte du problème de minimisation de la variation totale (restauration d'images).
 - Exploitation de problèmes duaux.
 - Optimisation par méthodes proximales parallèles.
- Filtrage de maillages



Maillage original



Maillage bûité

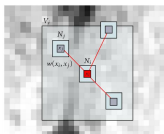


régularisation DCTV

Extension à la résolution de problèmes multi-label

Restauration de données [Couprie-Talbot-Pesquet-Najman-Grady, ICASSP 2011]

- Formulation combinatoire contrainte du problème de minimisation de la variation totale (restauration d'images).
 - Exploitation de problèmes duaux.
 - Optimisation par méthodes proximales parallèles.
- Débruitage d'images à l'aide de patches



Graphe non local
Figure P. Coupé



Image originale



Image bruitée
PSNR=28.1dB

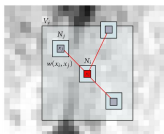


DCTV non locale
PSNR=35 dB

Extension à la résolution de problèmes multi-label

Restauration de données [Couprie-Talbot-Pesquet-Najman-Grady, ICASSP 2011]

- Formulation combinatoire contrainte du problème de minimisation de la variation totale (restauration d'images).
 - Exploitation de problèmes duaux.
 - Optimisation par méthodes proximales parallèles.
- Débruitage d'images à l'aide de patches



Graphe non local
Figure P. Coupé

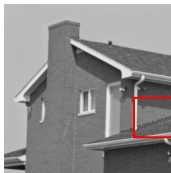


Image originale

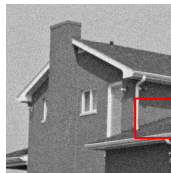
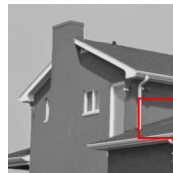


Image bruitée
PSNR=28.1dB

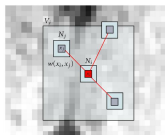


DCTV non locale
PSNR=35 dB

Extension à la résolution de problèmes multi-label

Restauration de données [Couprie-Talbot-Pesquet-Najman-Grady, ICASSP 2011]

- Formulation combinatoire contrainte du problème de minimisation de la variation totale (restauration d'images).
 - Exploitation de problèmes duaux.
 - Optimisation par méthodes proximales parallèles.
- Débruitage d'images à l'aide de patches



Graphe non local
Figure de
P. Couprie et al.



Image originale

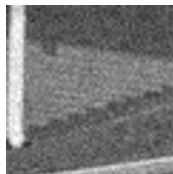
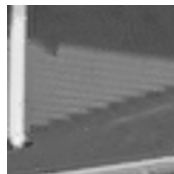


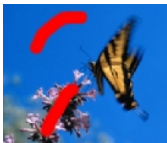
Image bruitée
PSNR=28.1dB



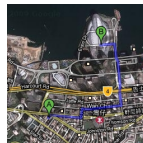
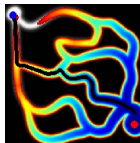
DCTV non locale
PSNR=35 dB

Que possèdent ces problèmes en commun ?

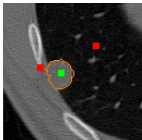
Coupes minimales



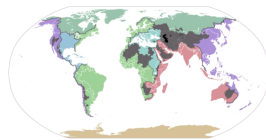
Plus courts chemins



Marcheur aléatoire

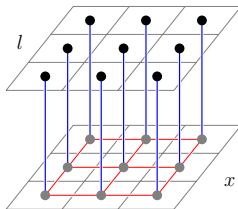


Ligne de partage des eaux



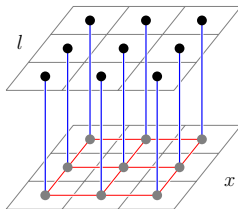
Liens établis précédemment

$$\arg \min_x \underbrace{\sum_{e_{ij} \in E} w_{ij}^q |x_i - x_j|^q}_{\text{Terme de régularisation}} + \underbrace{\sum_{v_i \in V} w_i^q |x_i - l_i|^q}_{\text{Data term}}$$



Liens établis précédemment

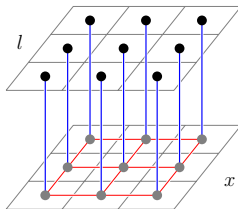
$$\arg \min_x \underbrace{\sum_{e_{ij} \in E} w_{ij} |x_i - x_j|}_{\text{Terme de régularisation}} + \underbrace{\sum_{v_i \in V} w_i |x_i - l_i|}_{\text{Data term}}$$



$q = 1$: Coupes minimales [Boykov-Joly 2001]
(seulement pour 2 labels l)

Liens établis précédemment

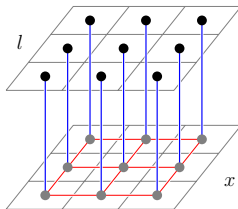
$$\arg \min_x \underbrace{\sum_{e_{ij} \in E} w_{ij}^2 |x_i - x_j|^2}_{\text{Terme de régularisation}} + \underbrace{\sum_{v_i \in V} w_i^2 |x_i - l_i|^2}_{\text{Data term}}$$



$q = 2$: Marcheur aléatoire [Grady 2006]

Liens établis précédemment

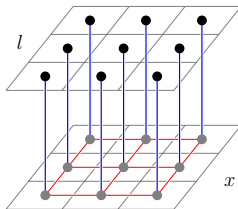
$$\lim_{q \rightarrow \infty} \arg \min_x \underbrace{\sum_{e_{ij} \in E} w_{ij}^q |x_i - x_j|^q}_{\text{Terme de régularisation}} + \underbrace{\sum_{v_i \in V} w_i^q |x_i - l_i|^q}_{\text{Data term}}$$



$q \rightarrow \infty$: Plus courts chemins [Sinop-Grady 2007]

Liens établis précédemment

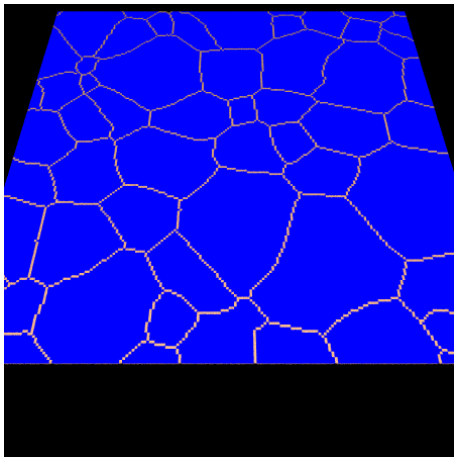
$$\lim_{p \rightarrow \infty} \arg \min_x \underbrace{\sum_{e_{ij} \in E} w_{ij}^p |x_i - x_j|}_{\text{Terme de régularisation}} + \underbrace{\sum_{v_i \in V} w_i^p |x_i - l_i|}_{\text{Data term}}$$



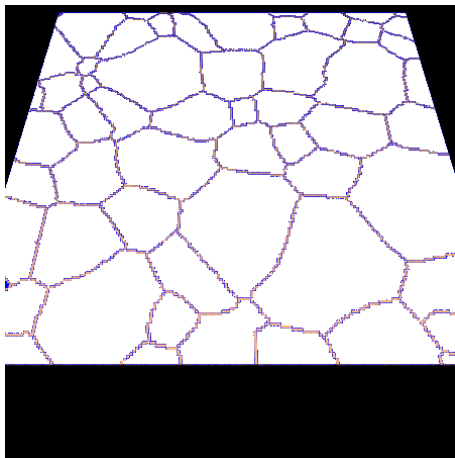
$p \rightarrow \infty$: Forêt Couvrante de Poids Max
(Ligne de partage des eaux) [Allène et al. 2007]

Ligne de partage des eaux et forêts couvrantes

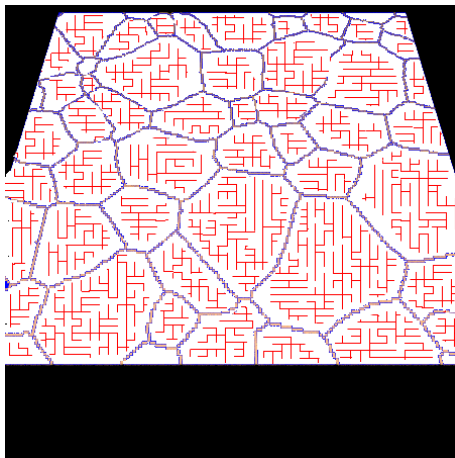
Ligne de partage des eaux et forêts couvrantes



Ligne de partage des eaux et forêts couvrantes



Ligne de partage des eaux et forêts couvrantes



LPE Puissance

Cadre unificateur de problèmes de segmentation

$$x_{p,q}^* = \arg \min_x \underbrace{\sum_{e_{ij} \in E} w_{ij}^p |x_i - x_j|^q}_{\text{Régularisation}} + \underbrace{\sum_{v_i \in V} w_i^p |x_i - l_i|^q}_{\text{Fidélité au données}}$$

q/p	fini	∞
1	Coupes minimales	Forêt couvrante de poids max (Ligne de Partage des Eaux)
2	Marcheur aléatoire	
∞		Plus courts chemins

LPE Puissance

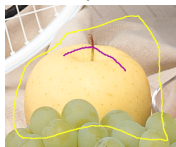
Cadre unificateur de problèmes de segmentation

$$x_{p,q}^* = \arg \min_x \underbrace{\sum_{e_{ij} \in E} w_{ij}^p |x_i - x_j|^q}_{\text{Régularisation}} + \underbrace{\sum_{v_i \in V} w_i^p |x_i - I_i|^q}_{\text{Fidélité au données}}$$

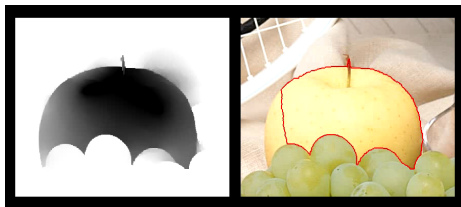
q/p	fini	∞
1	Coupes minimales	Forêt couvrante de poids max (Ligne de Partage des Eaux)
2	Marcheur aléatoire	$\bar{x} = \lim_{p \rightarrow \infty} x_{p,q}^*$ LPE Puissance
∞	Voronoi norme ℓ_1	Plus courts chemins

Convergence du marcheur aléatoire quand $p \rightarrow \infty$ vers une coupe par Ligne de Partage des Eaux

Marqueurs



$$x^*_1 = \arg \min_x \underbrace{\sum_{e_{ij} \in E} w_{ij}^{-1} |x_i - x_j|^2}_{\text{régularisation}} + \underbrace{\mathcal{D}(x)}_{\text{Fidélité aux données}}$$

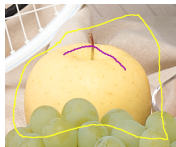


solution x^*_1

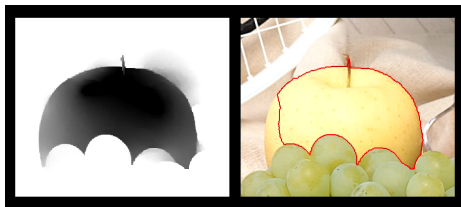
coupe : seuil de x^*_1

Convergence du marcheur aléatoire quand $p \rightarrow \infty$ vers une coupe par Ligne de Partage des Eaux

Marqueurs



$$x^*_2 = \arg \min_x \underbrace{\sum_{e_{ij} \in E} w_{ij}^2 |x_i - x_j|^2}_{\text{régularisation}} + \underbrace{\mathcal{D}(x)}_{\text{Fidélité aux données}}$$

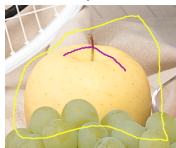


solution x^*_2

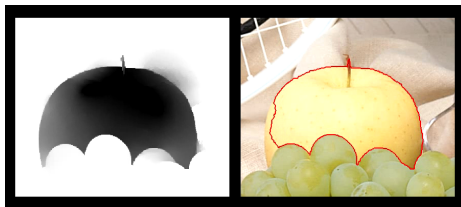
coupe : seuil de x^*_2

Convergence du marcheur aléatoire quand $p \rightarrow \infty$ vers une coupe par Ligne de Partage des Eaux

Marqueurs



$$x^*_3 = \arg \min_x \underbrace{\sum_{e_{ij} \in E} w_{ij}^3 |x_i - x_j|^2}_{\text{régularisation}} + \underbrace{\mathcal{D}(x)}_{\text{Fidélité aux données}}$$

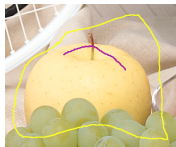


solution x^*_3

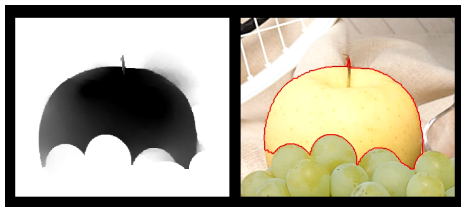
coupe : seuil de x^*_3

Convergence du marcheur aléatoire quand $p \rightarrow \infty$ vers une coupe par Ligne de Partage des Eaux

Marqueurs



$$x^*_4 = \arg \min_x \underbrace{\sum_{e_{ij} \in E} w_{ij} |x_i - x_j|^2}_{\text{régularisation}} + \underbrace{\mathcal{D}(x)}_{\text{Fidélité aux données}}$$

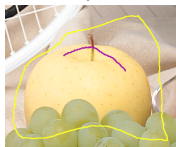


solution x^*_4

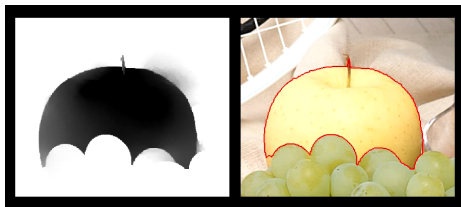
coupe : seuil de x^*_4

Convergence du marcheur aléatoire quand $p \rightarrow \infty$ vers une coupe par Ligne de Partage des Eaux

Marqueurs



$$x^*_6 = \arg \min_x \underbrace{\sum_{e_{ij} \in E} w_{ij} |x_i - x_j|^2}_{\text{régularisation}} + \underbrace{\mathcal{D}(x)}_{\text{Fidélité aux données}}$$

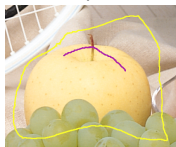


solution x^*_6

coupe : seuil de x^*_6

Convergence du marcheur aléatoire quand $p \rightarrow \infty$ vers une coupe par Ligne de Partage des Eaux

Marqueurs



$$x^*_g = \arg \min_x \underbrace{\sum_{e_{ij} \in E} w_{ij} |x_i - x_j|^2}_{\text{régularisation}} + \underbrace{\mathcal{D}(x)}_{\text{Fidélité aux données}}$$

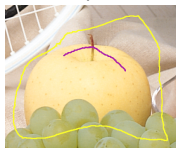


solution x^*_g

coupe : seuil de x^*_g

Convergence du marcheur aléatoire quand $p \rightarrow \infty$ vers une coupe par Ligne de Partage des Eaux

Marqueurs



$$x_{13}^* = \arg \min_x \underbrace{\sum_{e_{ij} \in E} w_{ij}^{13} |x_i - x_j|^2}_{\text{régularisation}} + \underbrace{\mathcal{D}(x)}_{\text{Fidélité aux données}}$$

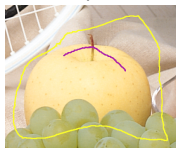


solution x_{13}^*

coupe : seuil de x_{13}^*

Convergence du marcheur aléatoire quand $p \rightarrow \infty$ vers une coupe par Ligne de Partage des Eaux

Marqueurs



$$x_{18}^* = \arg \min_x \underbrace{\sum_{e_{ij} \in E} w_{ij}^{18} |x_i - x_j|^2}_{\text{régularisation}} + \underbrace{\mathcal{D}(x)}_{\text{Fidélité aux données}}$$

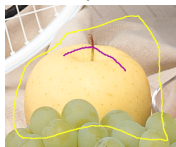


solution x_{18}^*

coupe : seuil de x_{18}^*

Convergence du marcheur aléatoire quand $p \rightarrow \infty$ vers une coupe par Ligne de Partage des Eaux

Marqueurs



$$x_{24}^* = \arg \min_x \underbrace{\sum_{e_{ij} \in E} w_{ij}^{24} |x_i - x_j|^2}_{\text{régularisation}} + \underbrace{\mathcal{D}(x)}_{\text{Fidélité aux données}}$$

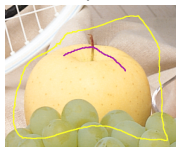


solution x_{24}^*

coupe : seuil de x_{24}^*

Convergence du marcheur aléatoire quand $p \rightarrow \infty$ vers une coupe par Ligne de Partage des Eaux

Marqueurs



$$x_{30}^* = \arg \min_x \underbrace{\sum_{e_{ij} \in E} w_{ij}^{30} |x_i - x_j|^2}_{\text{régularisation}} + \underbrace{\mathcal{D}(x)}_{\text{Fidélité aux données}}$$

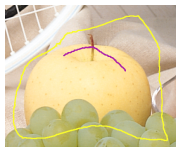


solution x_{30}^*

coupe : seuil de x_{30}^*

Convergence du marcheur aléatoire quand $p \rightarrow \infty$ vers une coupe par Ligne de Partage des Eaux

Marqueurs



$$x_p^* = \arg \min_x \underbrace{\sum_{e_{ij} \in E} w_{ij}^p |x_i - x_j|^q}_{\text{régularisation}} + \underbrace{\mathcal{D}(x)}_{\substack{\text{Fidélité} \\ \text{aux données}}}$$



$\bar{x} = \lim_{p \rightarrow \infty} x_p^*$ coupe : seuil de \bar{x}

Théorèmes

Quand $p \rightarrow \infty$,

- la coupe obtenue est une coupe par forêt couvrante de poids max.
- quand $q > 1$, la solution \bar{x} est unique.

Algorithme pour le cas $p \rightarrow \infty$, quelque soit $q > 1$

Calcul de l'étiquetage de graphe limite x quand $p \rightarrow \infty$ minimisant $\sum_{e_{ij} \in E} w_{ij}^p |x_i - x_j|^q$ sujet à des contraintes (marqueurs)

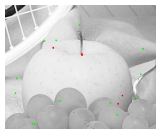
- Construire une forêt couvrante de poids max hors des plateaux, et optimiser

$$x^* = \arg \min_x \sum_{e_{ij} \in \text{plateau}} |x_i - x_j|^q$$

sur les plateaux.

- Nous appelons cet algorithme "LPE Puissance".

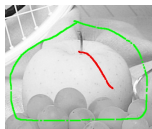
Comparaison des résultats



Marqueurs



Coupes min



Marqueurs



Coupes min



March. aléatoire



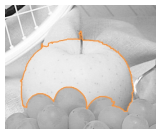
Courts chemins



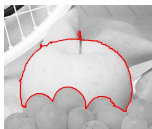
March. aléatoire



Courts chemins



LPE



LPE Puissance $q = 2$



LPE



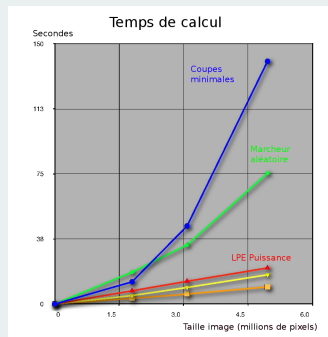
LPE Puissance $q = 2$

Contributions scientifiques

Applications de la LPE Puissance

LPE Puissance : outil
d'optimisation très efficace

- segmentation avec marqueurs
- filtrage – optimisation non-convexe
- reconstruction 3D (à partir d'images)
- reconstruction de surfaces (de nuages de points)
- segmentation sémantique

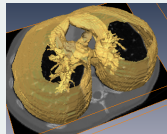


Contributions scientifiques

Applications de la LPE Puissance

LPE Puissance : outil
d'optimisation très efficace

- segmentation avec marqueurs
- filtrage – optimisation non-convexe
- reconstruction 3D (à partir d'images)
- reconstruction de surfaces (de nuages de points)
- segmentation sémantique

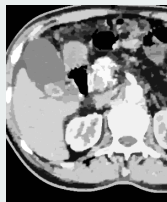


Contributions scientifiques

Applications de la LPE Puissance

LPE Puissance : outil
d'optimisation très efficace

- segmentation avec marqueurs
- filtrage – optimisation non-convexe
- reconstruction 3D (à partir d'images)
- reconstruction de surfaces (de nuages de points)
- segmentation sémantique



Contributions scientifiques

Applications de la LPE Puissance

LPE Puissance : outil
d'optimisation très efficace

- segmentation avec marqueurs
- filtrage – optimisation non-convexe
- reconstruction 3D (à partir d'images)
- reconstruction de surfaces (de nuages de points)
- segmentation sémantique

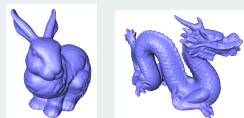
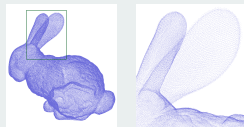


Contributions scientifiques

Applications de la LPE Puissance

LPE Puissance : outil
d'optimisation très efficace

- segmentation avec marqueurs
- filtrage – optimisation non-convexe
- reconstruction 3D (à partir d'images)
- reconstruction de surfaces (de nuages de points)
- segmentation sémantique



Contributions scientifiques

Applications de la LPE Puissance

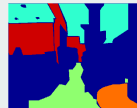
LPE Puissance : outil
d'optimisation très efficace

- segmentation avec marqueurs
- filtrage – optimisation non-convexe
- reconstruction 3D (à partir d'images)
- reconstruction de surfaces (de nuages de points)
- segmentation sémantique

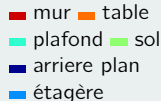
image



vérité terrain



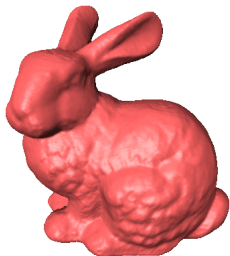
légende



résultat



Comparaisons pour la reconstruction de surfaces



Variation totale

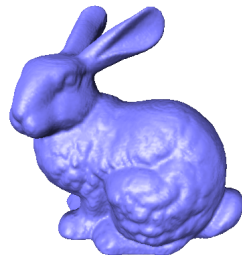
Taille requise des marqueurs



Coupes minimales

Taille requise des marqueurs

estimation des
normales
à la surface requises



LPE Puissance

Taille requise des marqueurs



Conclusion

Reformulation du problème classique des flots max

- Effets de blocs des flots max classiques
- Problèmes de convergence de AT-CMF
- Filtrage par coupes minimales coûteux

La LPE Puissance répond à plusieurs problèmes des méthodes classiques

- Solution non unique
- Effets de fuites
- Random Walker, Graph cuts : complexité super-linéaire

Conclusion

Reformulation du problème classique des flots max

- Effets de blocs des flots max classiques **Absents avec CCMF**
- Problèmes de convergence de AT-CMF
- Filtrage par coupes minimales coûteux

La LPE Puissance répond à plusieurs problèmes des méthodes classiques

- Solution non unique
- Effets de fuites
- Random Walker, Graph cuts : complexité super-linéaire

Conclusion

Reformulation du problème classique des flots max

- Effets de blocs des flots max classiques **Absents avec CCMF**
- Problèmes de convergence de AT-CMF **Convergence garantie**
- Filtrage par coupes minimales coûteux

La LPE Puissance répond à plusieurs problèmes des méthodes classiques

- Solution non unique
- Effets de fuites
- Random Walker, Graph cuts : complexité super-linéaire

Conclusion

Reformulation du problème classique des flots max

- Effets de blocs des flots max classiques **Absents avec CCMF**
- Problèmes de convergence de AT-CMF **Convergence garantie**
- Filtrage par coupes minimales coûteux **CCMF étendu aux problèmes multi-labels : cadre de filtrage flexible dans les graphes**

La LPE Puissance répond à plusieurs problèmes des méthodes classiques

- Solution non unique
- Effets de fuites
- Random Walker, Graph cuts : complexité super-linéaire

Conclusion

Reformulation du problème classique des flots max

- Effets de blocs des flots max classiques **Absents avec CCMF**
- Problèmes de convergence de AT-CMF **Convergence garantie**
- Filtrage par coupes minimales coûteux **CCMF étendu aux problèmes multi-labels : cadre de filtrage flexible dans les graphes**

La LPE Puissance répond à plusieurs problèmes des méthodes classiques

- Solution non unique **Solution unique**
- Effets de fuites
- Random Walker, Graph cuts : complexité super-linéaire

Conclusion

Reformulation du problème classique des flots max

- Effets de blocs des flots max classiques **Absents avec CCMF**
- Problèmes de convergence de AT-CMF **Convergence garantie**
- Filtrage par coupes minimales coûteux **CCMF étendu aux problèmes multi-labels : cadre de filtrage flexible dans les graphes**

La LPE Puissance répond à plusieurs problèmes des méthodes classiques

- Solution non unique **Solution unique**
- Effets de fuites **Réduction des fuites**
- Random Walker, Graph cuts : complexité super-linéaire

Conclusion

Reformulation du problème classique des flots max

- Effets de blocs des flots max classiques **Absents avec CCMF**
- Problèmes de convergence de AT-CMF **Convergence garantie**
- Filtrage par coupes minimales coûteux **CCMF étendu aux problèmes multi-labels : cadre de filtrage flexible dans les graphes**

La LPE Puissance répond à plusieurs problèmes des méthodes classiques

- Solution non unique **Solution unique**
- Effets de fuites **Réduction des fuites**
- Random Walker, Graph cuts : complexité super-linéaire **Expérimentalement linéaire.**

Conclusion

Reformulation du problème classique des flots max

- Effets de blocs des flots max classiques **Absents avec CCMF**
- Problèmes de convergence de AT-CMF **Convergence garantie**
- Filtrage par coupes minimales coûteux **CCMF étendu aux problèmes multi-labels : cadre de filtrage flexible dans les graphes**

La LPE Puissance répond à plusieurs problèmes des méthodes classiques

- Solution non unique **Solution unique**
- Effets de fuites **Réduction des fuites**
- Random Walker, Graph cuts : complexité super-linéaire **Expérimentalement linéaire.**
- **Plus important** : la capacité de minimiser des énergies multi-labels ouvre la voie à de nombreuses applications

Questions



Code source pour la segmentation d'image disponible à:

<http://sourceforge.net/projects/powerwatershed/>



References

Journals



C. Couprie, L. Grady, L. Najman, J.C. Pesquet, and H. Talbot : Constrained TV-based regularization on graphs. *Submitted, Oct. 2011.*



C. Couprie, L. Grady, H. Talbot, and L. Najman : Combinatorial Continuous Max flows. In *SIAM journal on imaging sciences, 2011.*



C. Couprie, L. Grady, L. Najman, and H. Talbot : Power Watersheds : A unifying graph-based optimization framework. In *IEEE Trans. on PAMI 2011.*

International conferences



C. Couprie, H. Talbot, J.C. Pesquet, L. Najman, and L. Grady : Dual constrained tv-based regularization. In *Proc. of ICASSP, 2011.*



C. Couprie, X. Bresson, L. Najman, H. Talbot and L. Grady : Surface reconstruction using Power watersheds. In *Proc. of ISMM 2011.*



C. Couprie, L. Grady, L. Najman, and H. Talbot : Anisotropic diffusion using power watersheds. In *Proc. of ICIP 2010.*



C. Couprie, L. Grady, L. Najman, and H. Talbot : Power watersheds : A new image segmentation framework extending graph cuts, random walker and optimal spanning forest. In *Proc. of ICCV 2009.*

Mathilde Noual

***About time and the structure of
interaction systems***

COLLOQUIUM D'INFORMATIQUE DE
L'UPMC – SORBONNE UNIVERSITÉS

25/06/2013

About time and the structure
of interaction systems

Mathilde Noual



Interaction systems

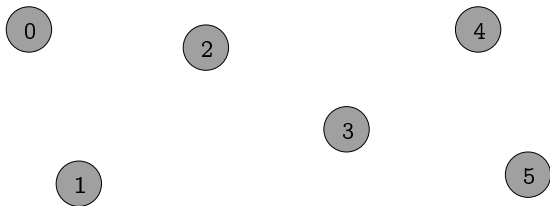
DEFINITION :

An interaction system is any system that can be defined by a set of interacting entities such that all events that are possible in this system

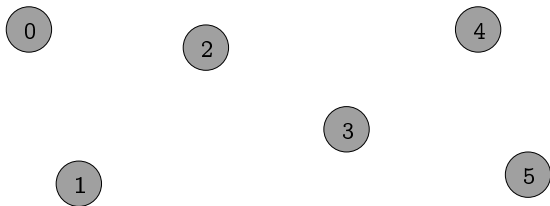
- are caused by interactions between these entities,
- correspond to changes of states of these entities.

The prototype

– Boolean automata networks –

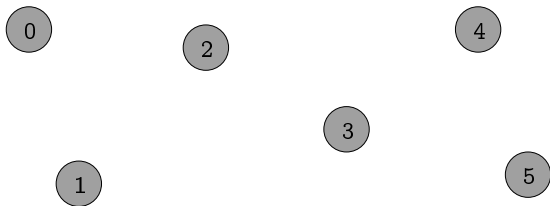


A set V of automata



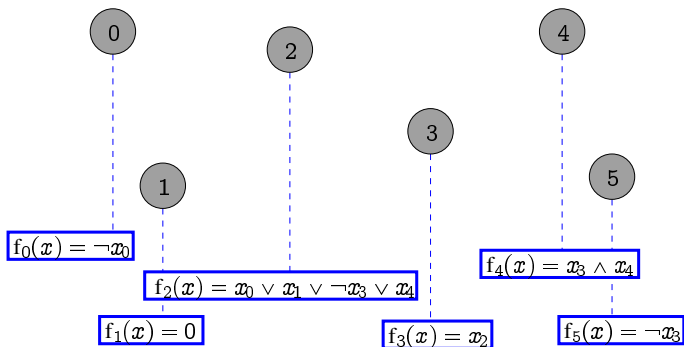
A set V of automata

with variable states $x_i, \forall i \in V$



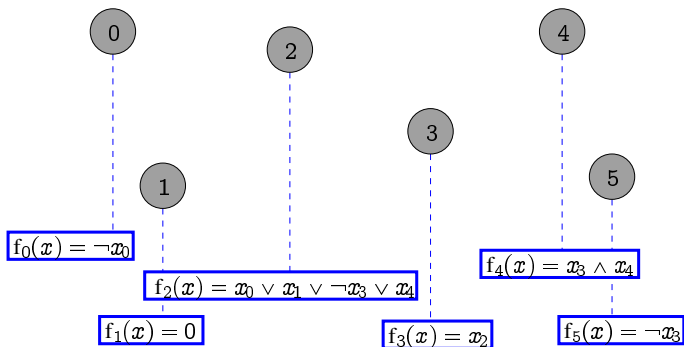
A set V of automata

with Boolean states $x_i \in \mathbb{B}$, $\forall i \in V$



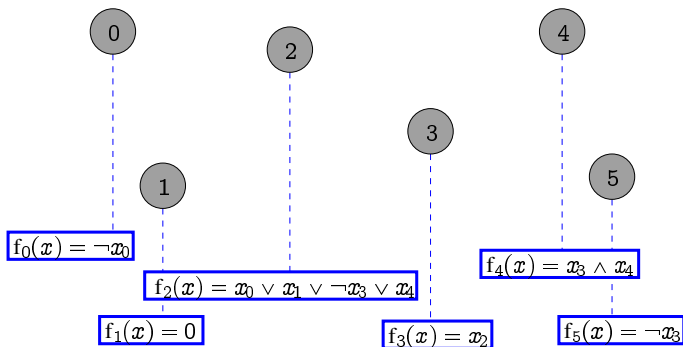
$\forall i \in V$, a **local transition function** $f_i : \mathbb{B}^n \mapsto \mathbb{B}$

(locally monotone)



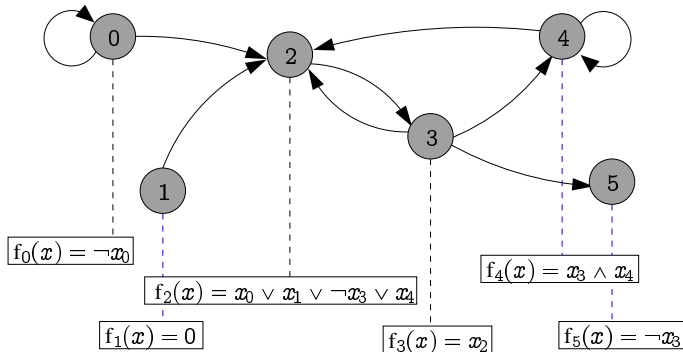
$\forall i \in V$, a local transition function $f_i : \mathbb{B}^n \mapsto \mathbb{B}$

(locally monotone)



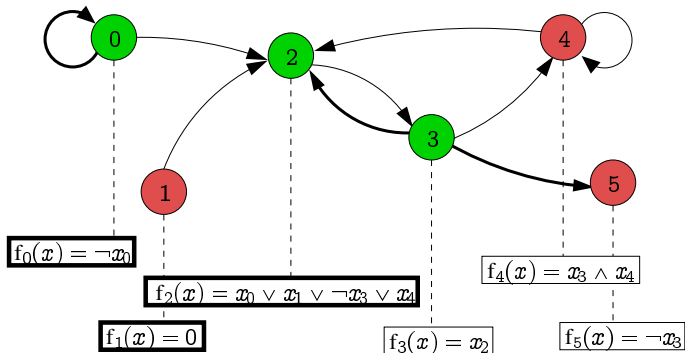
DEFINITION: A Boolean automata network is a set of Boolean functions :

$$\mathcal{N} = \{ f_i : \mathbb{B}^{|\mathbb{V}|} \rightarrow \mathbb{B} \mid i \in \mathbb{V} \}$$

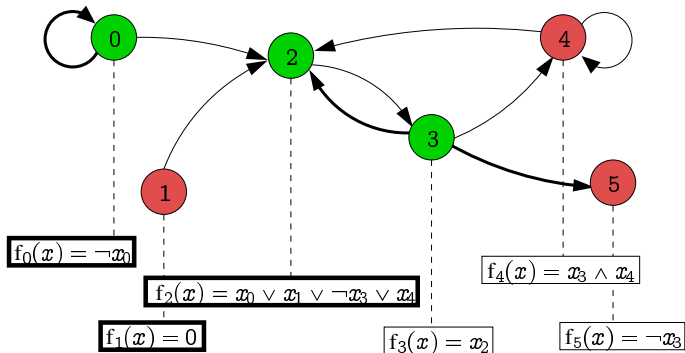


The interaction graph/structure $G = (V, A)$

Automata Updates & Network Transitions



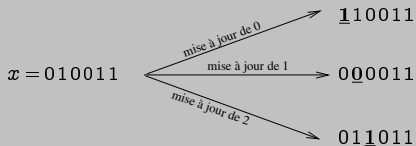
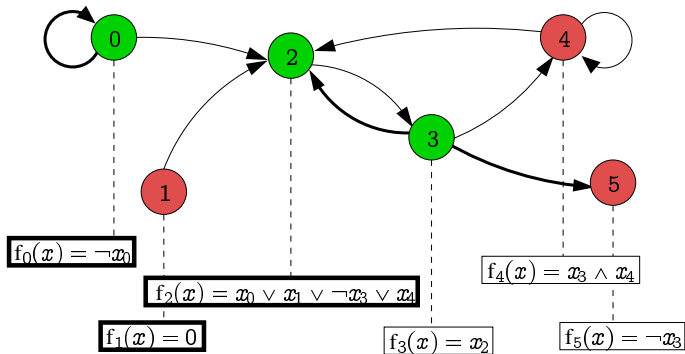
$x = 010011$

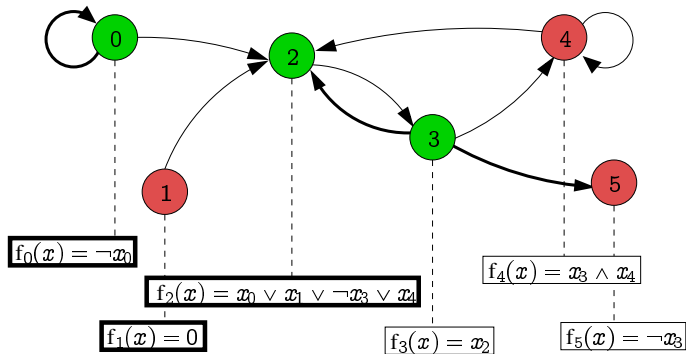


$x = 010011$

mise à jour de 0

110011





100011

mise à jour de 0 et 1

$x = 010011$

mise à jour de 0

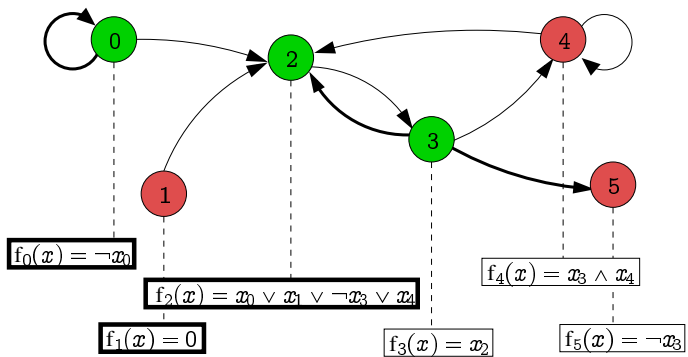
110011

mise à jour de 1

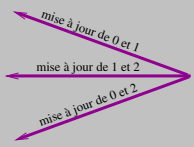
000011

mise à jour de 2

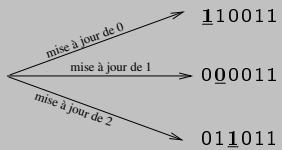
011011



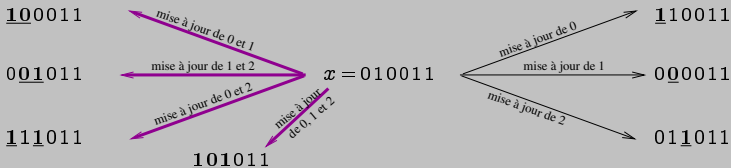
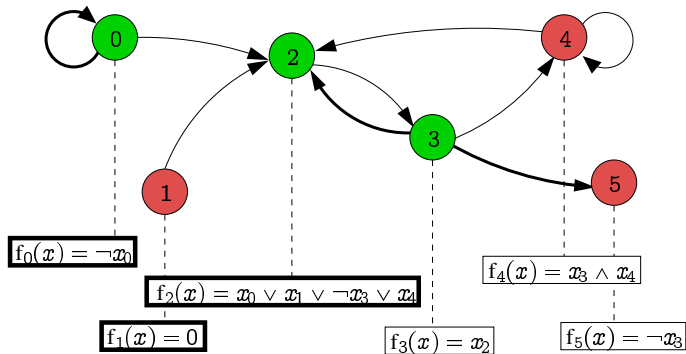
100011
 001011
 111011



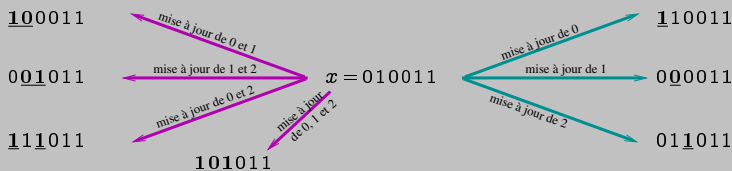
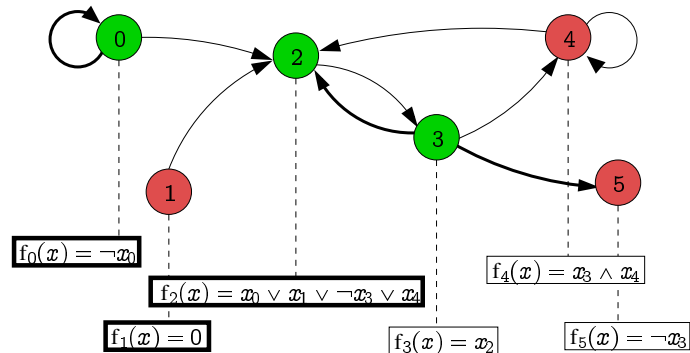
$x = 010011$



110011
 000011
 011011

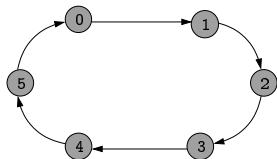


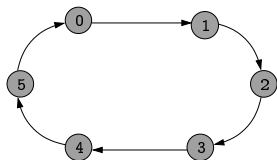
To define an update schedule is to organise possible local events in time



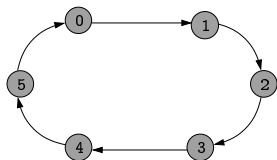
Synchronism *vs* Asynchronism

Synchronism *vs* Asynchronism



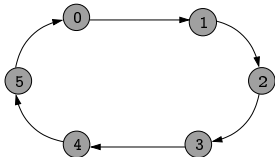


For cycles, synchronism tends to entertain local & global instabilities that only some asynchronism can filter out.



For cycles, synchronism tends to entertain local & global instabilities that only some asynchronism can filter out.

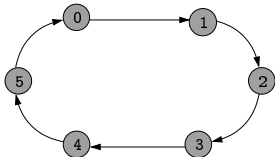
But there exists networks for which asynchronism entertains instabilities that only some synchronism can filter out.



For cycles, synchronism tends to entertain local & global instabilities that only some asynchronism can filter out.

But there exists networks for which asynchronism entertains instabilities that only some synchronism can filter out.

But these networks are rare. Thus, for most networks, synchronism adds no new possibilities.



For cycles, synchronism tends to entertain local & global instabilities that only some asynchronism can filter out.

But there exists networks for which asynchronism entertains instabilities that only some synchronism can filter out.

How come?

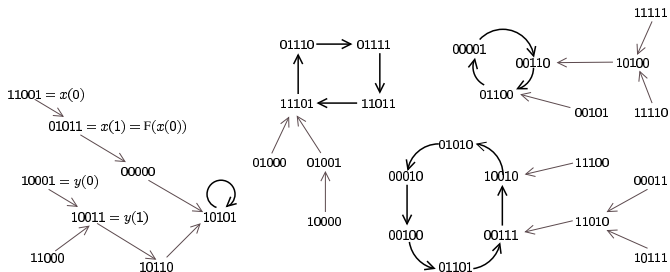
But these networks are rare. Thus, for most networks, synchronism adds no new possibilities.

How come?

The Parallel Update Schedule

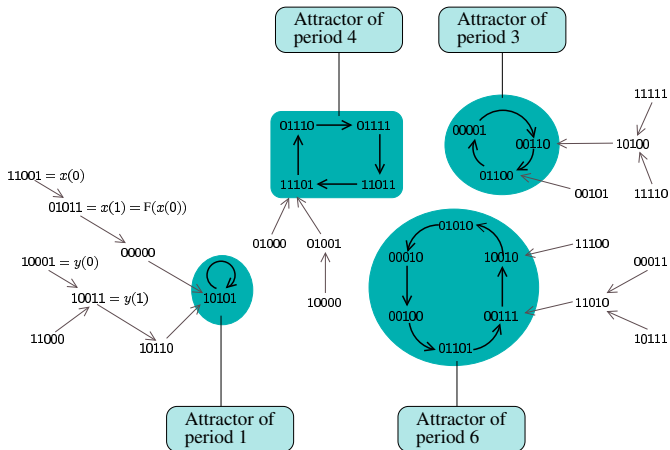
DEFINITION:

The transition graph induced by the parallel update schedule is the graph of function : $x \in \mathbb{B}^n \mapsto (f_0(x), f_1(x), \dots, f_{n-1}(x)) \in \mathbb{B}^n$.



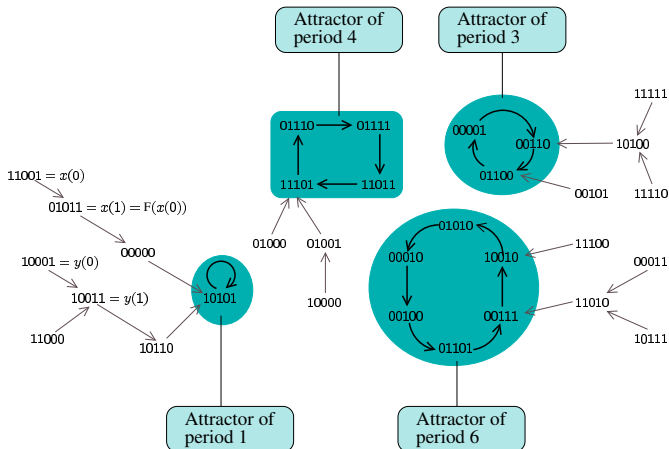
DEFINITION:

The transition graph induced by the parallel update schedule is the graph of function : $x \in \mathbb{B}^n \mapsto (f_0(x), f_1(x), \dots, f_{n-1}(x)) \in \mathbb{B}^n$.



DEFINITION:

The transition graph induced by the parallel update schedule is the graph of function : $x \in \mathbb{B}^n \mapsto (f_0(x), f_1(x), \dots, f_{n-1}(x)) \in \mathbb{B}^n$.



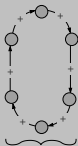
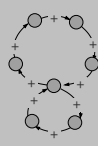
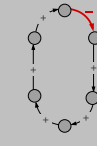
Order = ω = lcm of periods

Global instability = T = number of attractors

Cycles Interacting in Parallel

Under the parallel update schedule ...

Theorem

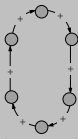
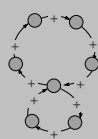
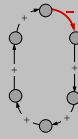
Network \mathcal{N}	\mathcal{C}_n^+	$\mathcal{D}_{\ell r}^{++}$	\mathcal{C}_n^-
	 <p style="font-size: small; text-align: center;">circuit de taille n</p>	 <p style="font-size: small; text-align: center;">$\text{pgcd}(\ell, r) = n$</p>	
Order $\omega \in \mathbb{N}$ of \mathcal{N}	n		$2n$
Number of configurations of period $p \omega$	2^p		$\neg(p n) \cdot 2^{\frac{p}{2}}$
Number of attractors of period $p \omega$	$\frac{1}{p} \sum_{d p} \mu\left(\frac{p}{d}\right) 2^d$		$\frac{1}{p} \sum_{\substack{k \text{ impair} \\ p k}} \mu(k) 2^{\frac{p}{2k}}$
Total number of attractors	$\frac{1}{n} \sum_{d n} \varphi\left(\frac{n}{d}\right) 2^d$		$\frac{1}{2n} \sum_{\substack{k \text{ impair} \\ 2n k}} \varphi(k) 2^{\frac{n}{2k}}$

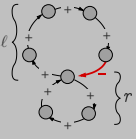
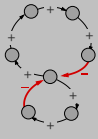
Cycles under the parallel update schedule

Under the parallel update schedule ...

Theorem

Theorem

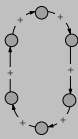
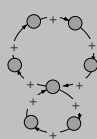
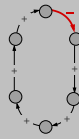
Network \mathcal{N}	C_n^+	$D_{\ell r}^{++}$	C_n^-
			
	circuit de taille n	$\text{pgcd}(\ell, r) = n$	
Order $\omega \in \mathbb{N}$ of \mathcal{N}	n		$2n$
Number of configurations of period $p \omega$	2^p		$\neg(p n) \cdot 2^{\frac{p}{2}}$
Number of attractors of period $p \omega$	$\frac{1}{p} \sum_{d p} \mu\left(\frac{p}{d}\right) 2^d$		$\frac{1}{p} \sum_{\substack{k \text{ impair} \\ p k}} \mu(k) 2^{\frac{p}{2k}}$
Total number of attractors	$\frac{1}{n} \sum_{d n} \varphi\left(\frac{n}{d}\right) 2^d$		$\frac{1}{2n} \sum_{\substack{k \text{ impair} \\ 2n}} \varphi(k) 2^{\frac{n}{k}}$

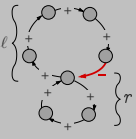
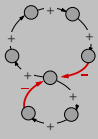
$D_{\ell r}^{-+}$	$D_{\ell r}^{--}$
	
r	$\ell + r$
(except exceptions)	
$\neg(p \ell) \cdot \mathbb{L}\left(\frac{p}{np}\right)^{np}$	$\neg(p n) \cdot \mathbb{P}\left(\frac{p}{np}\right)^{np}$
$\frac{1}{p} \sum_{d p, \neg(d \ell)} \mu\left(\frac{p}{d}\right) \mathbb{L}\left(\frac{d}{nd}\right)^{nd}$	$\frac{1}{p} \sum_{d p, \neg(d n)} \mu\left(\frac{p}{d}\right) \mathbb{P}\left(\frac{d}{nd}\right)^{nd}$
$\frac{1}{r} \sum_{d r, \neg(d \ell)} \varphi\left(\frac{r}{d}\right) \mathbb{L}\left(\frac{d}{nd}\right)^{nd}$	$\frac{1}{\ell+r} \sum_{d \ell+r, \neg(d n)} \varphi\left(\frac{\ell+r}{d}\right) \mathbb{P}\left(\frac{d}{nd}\right)^{nd}$

Under the parallel update schedule ...

Theorem

Theorem

Network \mathcal{N}	C_n^+  circuit de taille n	$D_{\ell r}^{++}$  $\text{pgcd}(\ell, r) = n$	C_n^- 
Order $\omega \in \mathbb{N}$ of \mathcal{N}	n	$2n$	
Total number of attractors	$T^+ = T^{++}$	T^-	

$D_{\ell r}^{-+}$ 	$D_{\ell r}^{--}$ 
r (except exceptions)	$\ell + r$ (except exceptions)
T^{-+}	T^{--}

CONJECTURE:

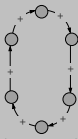
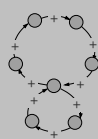
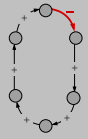
$$T \leq 2A_\omega$$

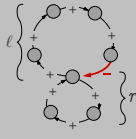

\Rightarrow The mean attractor period is no smaller than $\frac{\omega}{2}$.

Under the parallel update schedule ...

Theorem

Theorem

Network \mathcal{N}	\mathcal{C}_n^+  circuit de taille n	$\mathcal{D}_{\ell r}^{++}$  $\text{pgcd}(\ell, r) = n$	\mathcal{C}_n^- 
Order $\omega \in \mathbb{N}$ of \mathcal{N}	n	$2n$	
Total number of attractors	$T^+ = T^{++}$	$T^- \leq \frac{T^+}{2^{\omega/2-1}}$	

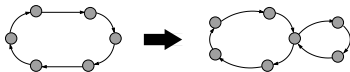
$\mathcal{D}_{\ell r}^{-+}$ 	$\mathcal{D}_{\ell r}^{--}$ 
r	$\ell + r$ (except exceptions)
$T^{-+} \leq \frac{\sqrt{3}^\omega}{2^{\omega-1}} T^+$	$T^{--} \leq \frac{3^{3\ell}}{2^{\omega-1}} T^+$

CONSEQUENCE:

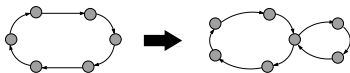
Comparing total number of attractors of cycles & double-cycles

of same order $\omega \in \mathbb{N}$: 

The effect of cycle intersections



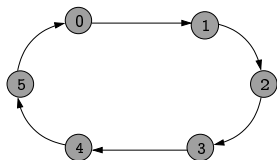
The effect of cycle intersections



THE CONJECTURE

- ↗ *Cycle intersections* ⇒ ↘ *Global instability*
- ⇒ ↘ *Local instabilities*
- ⇒ ↘ *Sensitivity to time*

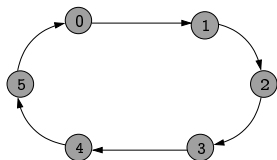
Ending



For cycles, synchronism tends to entertain local & global instabilities that only some asynchronism can filter out.

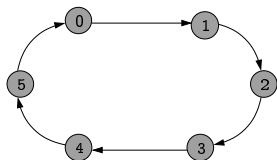
But there exists networks for which asynchronism entertains instabilities that only some synchronism can filter out.

But most networks are insensitive to synchronism.



For cycles, synchronism tends to entertain local & global instabilities that only some asynchronism can filter out.

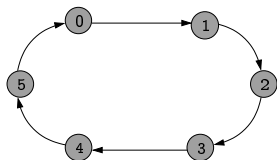
But most networks are unsensitive to synchronism.



For cycles, synchronism tends to entertain local & global instabilities that only some asynchronism can filter out.

But most networks are insensitive to synchronism.

↪ Most networks have cycle intersections forcing asynchrony anyway.

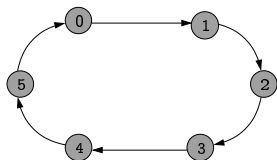


For cycles, synchronism tends to entertain local & global instabilities that only some asynchronism can filter out.

There exists networks for which asynchronism entertains instabilities that only some synchronism can filter out.

But most networks are insensitive to synchronism.

↪ Most networks have cycle intersections forcing asynchrony anyway.



For cycles, synchronism tends to entertain local & global instabilities that only some asynchronism can filter out.

There exists networks for which asynchronism entertains instabilities that only some synchronism can filter out.

↪ Sensitivity to synchronism could be due essentially to 'non-monotony'.

But most networks are insensitive to synchronism.

↪ Most networks have cycle intersections forcing asynchrony anyway.

thank you!

Mathieu Feuillet

***Bandwidth Allocation in Large
Stochastic Networks***

Bandwidth Allocation in Large Stochastic Networks

Mathieu Feuillet

Advisors: Thomas Bonald (Telecom ParisTech) and Philippe Robert (Inria)

Inria Paris-Rocquencourt¹

25/06/2013

¹Until 30/06/2012

Context

Would the Internet collapse without congestion control?

Is the bandwidth used efficiently by WiFi?

What is the mean lifetime of a file in a large distributed system?

Why is it similar?

Mathematical tools!

Classical: Probabilistic modeling (Markov).

Uncommon: **Scaling methods.**

Thesis specificity: **Stochastic averaging.**

Mathematics and probability

Mathematics:

Simulations and experiments allow to tackle a **finite set of cases**.

Some properties can only be **proved** with mathematics. This is a complementary approach of simulations and experiments.

Probability:

Network traffic is **inherently** random:

- User behavior
- Random failures
- Stochastic algorithms

Modeling



Goals:

- Understanding
- Algorithm design
- Dimensioning

Tools:

- Markov process
- Queueing theory
- **Scaling methods**

Stochastic models

State: let $(X(t))$ be a Markov process in \mathbb{N}^d .

Examples:

- Number of active flows in the Internet
- Number of files to be transmitted
- Number of stored files

Typical questions:

- Is it stable or unstable?
- If stable, what is the equilibrium?
- What are the transient properties?

Scaling methods

Principle: With N a scaling parameter, study the evolution of the trajectories of the process.

$$\left(\frac{X^N(\alpha_N(t))}{\beta_N} \right)$$

when $N \rightarrow \infty$, with adapted functions $(\alpha_N(t))$ and (β_N) .

Goal:

Give a first order description of $(X^N(t))$:

$$X^N(\alpha_N(t)) \approx \beta_N \cdot x(t)$$

where $(x(t))$ is a **simpler stochastic process** or, ideally, a **deterministic process**.

Classical example: Fluid limit

$$(\bar{X}(t)) = \left(\frac{X(Nt)}{N} \right), \quad \text{with } N = \|X(0)\|.$$

Scaling parameter: initial state

Time scale: $t \mapsto Nt$

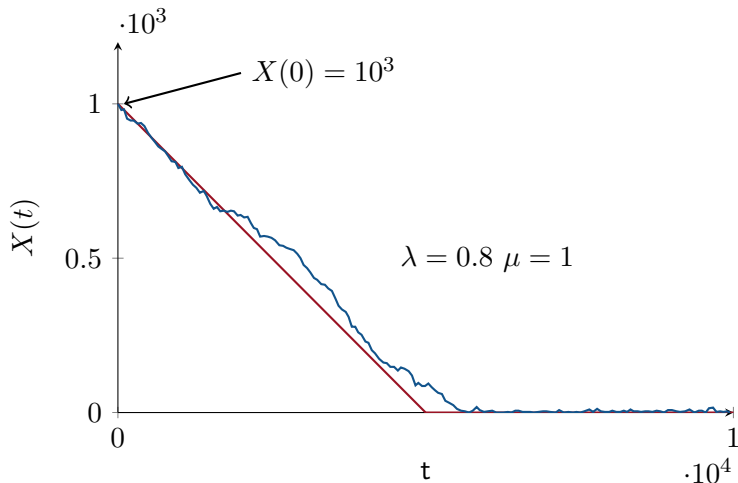
The fluid limit reaches 0



The process is stable

Example: the fluid limit of a $M/M/1$ queue

$$(\bar{X}(t)) = \left(\frac{X(Nt)}{N} \right), \quad \text{with } N = X(0).$$



Stochastic averaging: principles

Two sequences of processes $(X^N(t))$ and $(Y^N(t))$ with

$(X^N(t))$ Slow process

$(Y^N(t))$ Fast process

When $N \rightarrow \infty$, there is time-scale separation:

Fast process:

- “Sees” $X^N(t) \approx x$ constant
- Converges to an equilibrium E_x depending on x

Slow process:

- “Sees” $(Y^N(t))$ constantly at equilibrium
- Its dynamics depends on $E_{X^N(t)}$

Non classical scaling method!

Stochastic averaging: Example

Consider a compressor.



Fast process:

$Y(t)$: Gas molecules agitation (thermal noise).

Slow process:

$X(t)$: Position of the compressor on which a constant force is applied.

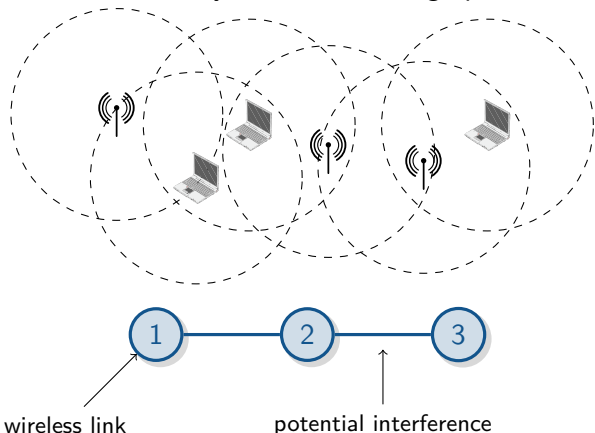
Local equilibrium of the fast process:

Pressure $P_Y(t)$ depending on the volume...

and then on the position of the compressor.

Model

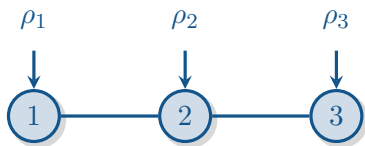
The network is modeled by an interference graph.



For each wireless link i :

- $X_i(t) \in \mathbb{N}$: number of flows at time t .
- $Y_i(t) = 1$ if i is active at time t and 0 otherwise.

Interference graph



Schedules: \emptyset , $\{1\}$, $\{2\}$, $\{3\}$, $\{1, 3\}$.

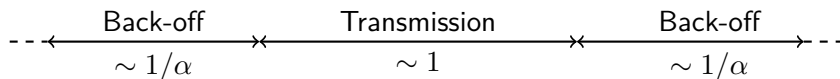
Schedule sequence is determined by the algorithm.

Optimal stability region : Convex hull of schedules.

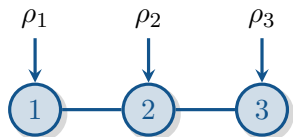
In this example: $\{\rho_1 + \rho_2 \leq 1, \rho_2 + \rho_3 \leq 1\}$.

Stability region of CSMA?

Standard CSMA

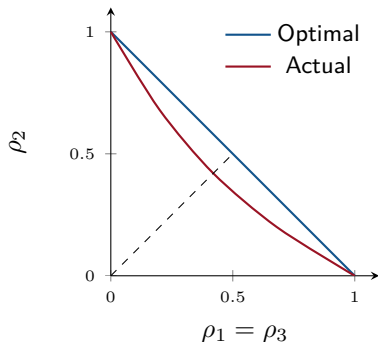


This algorithm is not optimal!



$$\rho_1 + \rho_2 \leq 1$$

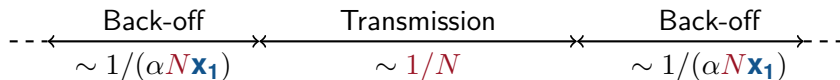
$$\rho_2 + \rho_3 \leq 1$$



Proof: Fluid limits.

Suggestion: Flow-Aware CSMA

An exponential back-off for each flow, i.e. each transferred document.



For each wireless link i ,

- $X_i^N(t) \in \mathbb{N}$: number of flows at time t ,
- $Y_i^N(t) = 1$ if node i is active at time t and 0 otherwise.

The process $(X^N(t), Y^N(t))$ is **difficult to analyze**.

Idea: Separate channel access and flow arrival/departure dynamics. When $N \rightarrow \infty$, $(Y^N(t))$: classical **loss network** (*hard-core* model in statistical physics).

Stochastic averaging

Flow-Aware CSMA optimality

Theorem:

Flow-aware CSMA is optimal for any network.

Proof:

- Foster criteria and Lyapunov function (Potential function).

Conclusion

Mathematical analysis is necessary for network engineering. It allows to define network performance according to **demand** and **capacity**.

Uncommon mathematical tools:

- Scaling methods
- Stochastic averaging

Examples:

- Congestion control in the Internet
- Channel access in WiFi networks
- Distributed file system with failures